# ДВУХТЕМПЕРАТУРНОЕ РАСПРЕДЕЛЕНИЕ АТОМОВ В УСЛОВИЯХ СУБДОПЛЕРОВСКОГО ОХЛАЖДЕНИЯ

А. А. Кирпичникова, Р. Я. Ильенков, О. Н. Прудников $^*$ 

Институт лазерной физики Сибирского отделения Российской академии наук 630090, Новосибирск, Россия

Поступила в редакцию 3 апреля 2024 г., после переработки 8 мая 2024 г. Принята к публикации 8 мая 2024 г.

Рассматривается задача субдоплеровоского лазерного охлаждения атомов в условиях «оптической патоки» в полях, образованных встречными волнами с различными поляризационными конфигурациями, с полным учетом квантовых эффектов отдачи. Показано, что распределение холодных атомов не является равновесным, но тем не менее может быть аппроксимировано двумя гауссовыми функциями и, соответственно, охарактеризовано температурами «холодной» и «горячей» фракций. Проведен детальный анализ долей атомов во фракциях и их температур в зависимости от параметров световых полей. На основе полученных результатов можно ввести понятие средневзвешенной температуры, которая находится в соответствии со средней кинетической энергией атомов.

Статья представлена в рамках публикации материалов конференции «Физика ультрахолодных атомов» (ФУХА-2023). Новосибирск, декабрь 2023 г.

**DOI:** 10.31857/S0044451024100080

#### 1. ВВЕДЕНИЕ

Лазерное охлаждение атомов является базовым инструментом современной квантовой физики и способствует развитию множества направлений, имеющих фундаментальные и практические применения. Среди основных можно выделить такие, как создание современных прецизионных стандартов частоты [1–4], развитие нового направления атомных сенсоров на основе интерференции волн материи [5–7], квантовых вычислений [8, 9] и квантовых коммуникаций [10]. Последующее применение методов испарительного охлаждения позволяет достичь сверхнизких температур, при которых проявляются квантовые свойства бозе- и ферми- конденсатов, что представляет отдельный интерес для исследований [11, 12].

С классической точки зрения действие света на атомы описывается в рамках сил, имеющих природу радиационного светового давления на движущиеся атомы, а также вынужденных дипольных сил, возникающих в результате переизлучения фотонов поля атомами между различными пространственными модами поля [13–15]. При этом «квантовый» характер взаимодействия атомов с фотонами поля в рамках квазиклассического подхода описывается флуктуацией сил, действующих на атом, что позволяет описать кинетику атомов как в рамках уравнения Фоккера—Планка [16,17] для функции распределения атомов в фазовом пространстве, так и в эквивалентном ему подходе на основе стохастических уравнений движения отдельных атомов — уравнений Ланжевена [18,19].

Альтернативой квазиклассическим подходам является развитый нами полностью квантовый подход, позволяющий решить задачу лазерного охлаждения атомов в рамках квантового кинетического уравнения для атомной матрицы плотности [20–23]. Представленный подход позволяет получить стационарное численное решение квантового кинетического уравнения для атомной матрицы плотности, содержащее полную информацию как о внутренних, так и о поступательных степенях свободы атома в лазерном поле. При этом анализ задачи в рамках квантового подхода позволяет выявить особенности, связанные с наличием конечного параметра отда-

<sup>\*</sup> E-mail: oleg.nsu@gmail.com

чи атомов при взаимодействии с фотонами поля,  $\varepsilon_R=E_k/\hbar\gamma$  ( $E_k=\hbar\omega_R$  — кинетическая энергия, получаемая неподвижным атомом при взаимодействии с фотоном поля,  $\omega_R$  — частота отдачи,  $\gamma$  — естественная ширина линии атомного перехода), в отличие от квазиклассического подхода, где данный параметр считается предельно малым,  $\varepsilon_R\ll 1$ .

Учет влияния квантовых эффектов отдачи, дискретности импульса и энергии, передаваемых атому при взаимодействии с фотонами поля, является наиболее актуальным как для лазерного охлаждения с использованием узких оптических переходов [24], так и для охлаждения атомов, характеризующихся недостаточно малым параметром  $\varepsilon_R$  [25]. В частности, представленный квантовый подход позволил сравнить эффективность субдоплеровского лазерного охлаждения атомов в полях с пространственнонеоднородной поляризацией, образованных встречными волнами с противоположными круговыми поляризациями ( $\sigma_{+}$ - $\sigma_{-}$ -конфигурация поля), или ортогональными линейными поляризациями ( $lin \perp lin$ конфигурация) [26]. При этом показано, что функция распределения холодных атомов по импульсам является существенно неравновесной и, строго говоря, не может быть описана в терминах температуры. Поэтому в рамках теоретических подходов для описания лазерного охлаждения мы пользовались средней кинетической энергией атомов, которую можно представить в температурных единицах. Экспериментально же температуру холодных атомов получают, аппроксимируя импульсное распределение гауссовой функцией, и результат может зависеть от способов аппроксимации. Так, например, в работе [27] кроме узкой составляющей импульсного распределения, характеризуемой субдоплеровской температурой, было показано наличие и более широкой составляющей, которая выглядит как «подложка». Однако ее ширина оказывается сравнима с температурой доплеровского предела, что в целом соответствует двухтемпературному распределению холодных атомов.

В данной работе в рамках развитого нами квантового подхода [22] мы проводим детальный анализ неравновесного распределения атомов в задаче субдоплеровского лазерного охлаждения в условиях «оптической патоки» с полным учетом квантовых эффектов отдачи. Такая задача также может быть применима как приближение для описания лазерного охлаждения атомов в магнитооптической ловушке (МОЛ), поскольку атомы охлаждаются в центре МОЛ, где магнитное поле равно нулю. Обнаружено, что температуры «холодной» и «горячей» фракций

атомов и их долей зависят не только от параметров используемого поля, но также от выбранной конфигурации световых полей и от параметра отдачи  $\varepsilon_R$ . Представленные результаты позволяют судить о режимах охлаждения, в которых проявляется существенно двухтемпературное распределение атомов, и позволяют описать условия максимизации доли атомов в «холодной» фракции, что представляет отдельный интерес для создания источника холодных атомов.

## 2. ПОСТАНОВКА ЗАДАЧИ

Ансамбль атомов малой плотности с пренебрежимым межатомным взаимодействием охлаждается в монохроматическом поле, резонансном замкнутому оптическому переходу  $F_g \to F_e$ , где  $F_g$  и  $F_e$  полные угловые моменты основного (g) и возбужденного (e) состояний. Рассмотрим конфигурации монохроматического поля, образованные встречными волнами равной интенсивности:

$$\mathbf{E}(z,t) = E_0(\mathbf{e}_1 e^{ikz} + \mathbf{e}_2 e^{-ikz})e^{-i\omega t} + \text{c.c.}, \quad (1)$$

где  $E_0$  — комплексная амплитуда световых волн;  $\omega$  — частота поля;  $k=\omega/c$  — волновой вектор. Поляризации  ${\bf e}_1$  и  ${\bf e}_2$  встречных волн в декартовом базисе  ${\bf e}_x, {\bf e}_y, {\bf e}_z$  выражаются через компоненты векторов  ${\bf e}_{0,\pm 1}$  в циклическом базисе:

$$\mathbf{e}_n = \sum_{\sigma=0,+1} e_n^{\sigma} \mathbf{e}_{\sigma}, \ n = 1, 2.$$
 (2)

Здесь  $\mathbf{e}_{\sigma}$  — единичные векторы циркулярного базиса:  $\mathbf{e}_{\pm 1} = \mp (\mathbf{e}_x \pm \mathbf{e}_y)/\sqrt{2}, \ \mathbf{e}_0 = \mathbf{e}_z.$  В данной работе мы будем рассматривать наиболее распространенные конфигурации световых полей, образованных встречными волнами с ортогональными поляризациями, в которых могут проявляться субдоплеровские механизмы лазерного охлаждения [28]:

- 1)  $lin \perp lin$ -конфигурация светового поля с  $\mathbf{e}_1 = \mathbf{e}_x$ , образованная парой встречных волн с ортогональными линейными поляризациями,
- 2)  $\sigma_+$ - $\sigma_-$ -конфигурация светового поля с  $\mathbf{e}_1 = \mathbf{e}_+$  и  $\mathbf{e}_2 = \mathbf{e}_-$ , образованная парой встречных волн с круговыми поляризациями.

Особенностью означенных конфигураций является то, что пространственная зависимость вектора поляризации (1) определяется только одним параметром светового поля. Так, для поля  $lin \perp lin$ конфигурации только эллиптичность светового поля зависит от координаты, периодически изменяя поляризацию с круговой на линейную и обратно при

смещении по оси z. В случае  $\sigma_+$ – $\sigma_-$ -конфигурации поляризация светового поля в каждой точке линейная, но угол наклона оси периодически изменяется вдоль оси z (см., например, работы [28,29]).

Для описания эволюции ансамбля атомов малой плотности воспользуемся квантовым кинетическим уравнением для атомной матрицы плотности  $\hat{\rho}$ :

$$\frac{\partial \hat{\rho}}{\partial t} = -\frac{i}{\hbar} [\hat{H}, \hat{\rho}] + \hat{\Gamma} {\{\hat{\rho}\}}, \tag{3}$$

где  $\hat{H}$  — гамильтониан, а  $\hat{\Gamma}\{\hat{\rho}\}$  описывает релаксацию атома при взаимодействии с вакуумными модами электомагнитного поля, т.е. в результате спонтанного распада. Гамильтониан атома  $\hat{H}$  разбивается на сумму вкладов:

$$\hat{H} = \frac{\hat{\rho}^2}{2M} + \hat{H}_0 + \hat{V},\tag{4}$$

где первое слагаемое — оператор кинетической энергии; M — масса атома;  $\hat{H}_0 = -\hbar \delta \hat{P}_e$  — гамильтониан свободного атома в приближении вращающейся волны (RWA);  $\delta = \omega - \omega_0$  — отстройка оптической частоты  $\omega$  от частоты атомного перехода  $\omega_0$ ;

$$\hat{P}_e = \sum_{\mu} |F_e, \mu\rangle\langle F_e, \mu| \tag{5}$$

— проекционный оператор для уровней возбужденного состояния  $|F_e,\mu\rangle$ , характеризующегося полным угловым моментом  $F_e$  и проекцией углового момента  $\mu$  на ось квантования. Последнее слагаемое  $\hat{V}$  описывает взаимодействие атома с полем (1). Взаимодействие атома с полем, резонансным электродипольному переходу, описывается оператором взаимодействия следующего вида:

$$\hat{V} = \hat{V}_1 \exp(ikz) + \hat{V}_2 \exp(-ikz),$$

$$\hat{V}_n = \hbar \frac{\Omega}{2} (\hat{D} \mathbf{e}_n) = \hbar \frac{\Omega}{2} \sum \hat{D}_\sigma e_n^\sigma,$$
(6)

где  $\Omega$  — частота Раби электродипольного перехода, и определяется векторами поляризации встречных волн и векторным оператором  $\hat{D}$ , матричные компоненты которого  $\hat{D}_{\sigma}$  в циркулярном базисе выражаются через коэффициенты Клебша – Гордана:

$$\hat{D}_{\sigma} = \sum_{\mu, m} C_{F_g, m; 1, \sigma}^{F_e, \mu} |F_e, \mu\rangle\langle F_g, \mu|. \tag{7}$$

Последний член кинетического уравнения (3), описывающий релаксацию атомной матрицы плот-

ности с учетом эффектов отдачи, определяется выражением (см., например, работы [20–23])

$$\hat{\Gamma}\{\hat{\rho}\} = \frac{\gamma}{2}(\hat{P}_e\hat{\rho} + \hat{\rho}\hat{P}_e) - \frac{3\gamma}{2} \times \left\langle \sum_{\xi=1,2} (\hat{D}e_{\xi}(\mathbf{k}))^{\dagger} \exp(-i\mathbf{k}\hat{\mathbf{r}})\hat{\rho} \exp(i\mathbf{k}\hat{\mathbf{r}})(\hat{D}e_{\xi}(\mathbf{k})) \right\rangle_{\Omega_k},$$
(8)

где  $\langle \ldots \rangle_{\Omega_k}$  означает усреднение по направлениям вылета спонтанного фотона с импульсом  $\hbar \, {\bf k} \, {\bf c}$  двумя ортогональными поляризациями  $e_\xi({\bf k})$ .

Отметим, что решение квантового кинетического уравнения (3) для рассматриваемого типа оптического перехода  $F_g \to F_e$  можно характеризовать тремя параметрами: отношением величины отстройки к естественной ширине линии  $\delta/\gamma$ , параметром отдачи  $\varepsilon_R$  и величиной светового сдвига, определяемого глубиной оптического потенциала [20–23]:

$$U = \frac{\hbar |\delta|}{3} \frac{|\Omega|^2}{(\delta^2 + \gamma^2/4)}, \qquad (9)$$

пропорционального интенсивности лазерного поля. Для поиска стационарного решения квантового кинетического уравнения (3) и анализа достижимых пределов лазерного охлаждения далее мы используем предложенный нами подход, детально описанный в работах [20–23].

## 3. ДВУХТЕМПЕРАТУРНОЕ РАСПРЕДЕЛЕНИЕ

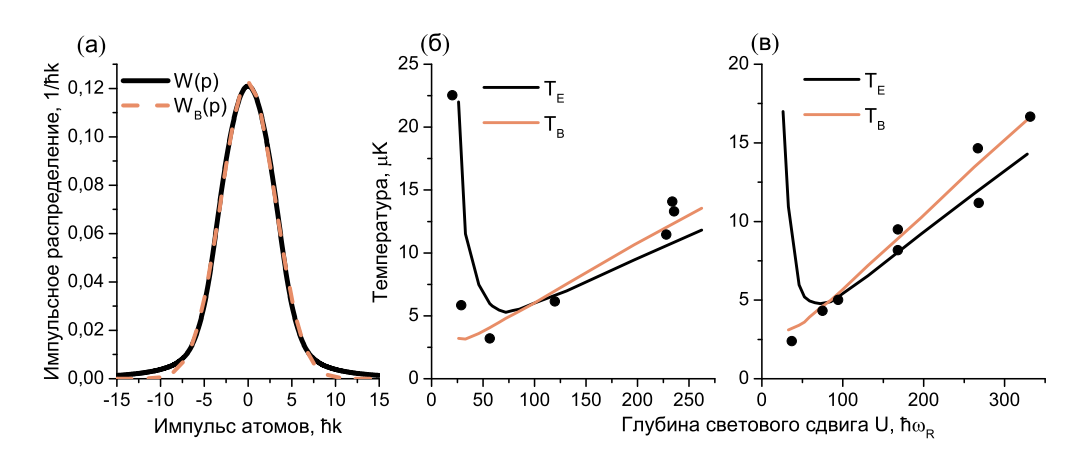
Отметим, что при лазерном охлаждении состояние ансамбля холодных атомов является существенно неравновесным [30] и, строго говоря, не может быть описано в терминах температуры. Поэтому в работах [17,26] в качестве меры охлаждения использовалась средняя кинетическая энергия атомов

$$\langle E_{kin} \rangle = \int \frac{p^2}{2M} W(p) dp,$$
 (10)

где W(p) — функция распределения по импульсам. Данное выражение позволяет определить температуру  $T_E$  как меру средней кинетической энергии для ансамбля атомов,

$$\langle E_{kin} \rangle = \frac{N}{2} k_B T_E \,, \tag{11}$$

где N — размерность задачи,  $k_B$  — постоянная Больцмана. Для термодинамически равновесного состояния температура  $T_E$  совпадает с классическим определением температуры. В основном



**Рис. 1.** a — Импульсное распределение ансамбля атомов  $^{85}$ Rb W(p) — черная линия — и его аппроксимация одной функцией Гаусса  $W_B(p)$  — штриховая красная линия  $(T=3.5\,\mathrm{mkK})$  — в поле  $lin \perp lin$ -конфигурации, резонансного замкнутому оптическому переходу  $5S_{1/2}(F_g=3) \to 5P_{3/2}(F_e=4)$  при отстройках поля  $\delta=-8\gamma$ ,  $U=50\hbar\omega_R$   $(\Omega=0.9\gamma)$ .  $\delta$ ,  $\epsilon$  — Температура холодных атомов  $^{85}$ Rb в зависимости от интенсивности светового поля при отстройке поля  $\delta=-4\gamma$   $(\delta)$  и  $\delta=-8\gamma$   $(\epsilon)$ . Здесь черной линией указана температура как мера средней кинетической энергии атомов  $T_E$  (11), красной линией — больцмановская температура  $T_B$ , полученная аппроксимацией импульсного распределения гауссовой функцией. Черными точками представлены результаты измерения температуры атомов в поле  $lin \perp lin$ -конфигурации [32]. Параметр отдачи  $\varepsilon_R=6.4\cdot 10^{-4}$ 

при использовании термина «температура» подразумевают, что импульсное распределение атомов описывается распределением Максвелла—Больцмана для идеального газа невзаимодействующих частиц. Плотность вероятности для такого распределения можно записать в виде

$$W_B(p) = C \exp\left(-\frac{p^2}{2M k_B T_B}\right), \tag{12}$$

где C — нормировочная константа, а  $T_B$  — больцмановская (классическая) температура.

Отметим, что неравновесное состояние атомов проявляется и для предельно малых параметров отдачи  $\varepsilon_R < 10^{-3}$ , т. е. в условиях применимости квазиклассических подходов [17]. Так, например, на рис. 1 а представлено импульсное распределение холодных атомов  $^{85}$ Rb в поле  $lin \perp lin$ -конфигурации, полученное в результате численного решения уравнения (3), и его аппроксимация гауссовой функцией. Для атомов  $^{85}{
m Rb}$  параметр отдачи  $\varepsilon_R=6.4\cdot 10^{-4}$ можно считать предельно малым. Тем не менее наблюдается отличие функции распределения W(p)от нормального распределения (12), которое приводит к расхождениям в определении температур T и  $T_{E}$  (см. рис. 1 б, в). Такое отличие от равновесного распределения может объяснить разброс температуры ансамбля атомов в экспериментах по лазерному охлаждению. Разброс в измерениях температуры в работе [31], полученных в результате численного

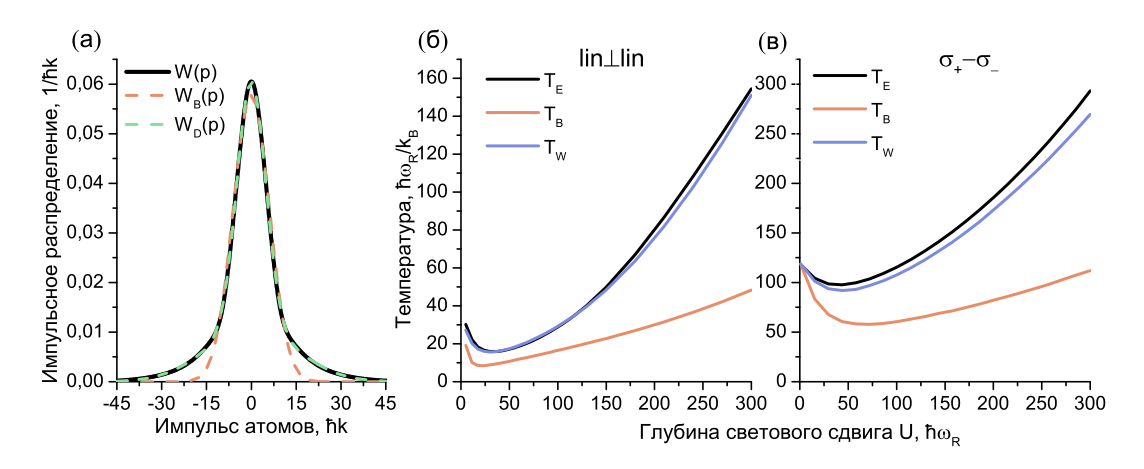
решения уравнения (3), находится в соответствии с определениями  $T_B$  и  $T_E$  (рис. 1  $\delta$ ,  $\epsilon$ ).

Кроме того, для атомов с недостаточно малыми параметрами отдачи

$$10^{-3} < \varepsilon_R < 1 \tag{13}$$

импульсное распределение ансамбля атомов, полученное на основе численного решения квантового кинетического уравнения (3), значительно отличается от распределения Максвелла-Больцмана (рис. 2 а). Это приводит к тому, что классическая температура  $T_B$  (12) существенно отличается от характерной температуры  $T_E$  (11) и не может быть использована для описания кинетики ансамбля не только количественно, но и качественно (рис.  $2 \, 6, \, 6$ ). Таким образом, для термодинамического описания системы охлажденных атомов требуется введение альтернативной характеристики. Одним из способов описания неравновесных систем является двухтемпературное распределение, когда вместо одной гауссовой функции (12) импульсное распределение аппроксимируется с помощью двух гауссовых функ-

$$W_D(p) = \frac{N_{hot}}{\sqrt{2\pi M k_B T_{hot}}} \exp\left(-\frac{p^2}{2M k_B T_{hot}}\right) + \frac{N_{cold}}{\sqrt{2\pi M k_B T_{cold}}} \exp\left(-\frac{p^2}{2M k_B T_{cold}}\right). \quad (14)$$



**Рис. 2.** a — Импульсное распределение ансамбля атомов W(p) (черная линия) и его аппроксимации одной функцией Гаусса  $W_B(p)$  (штриховая красная линия) и двумя функциями Гаусса  $W_D(p)$  (штриховая зеленая линия) для параметра отдачи  $\varepsilon_R=10^{-2}$  в поле  $lin\perp lin$ -конфигурации с отстройкой  $\delta=-2\gamma$  при  $U=240\,\hbar\omega_R$ . Оптический переход  $F_g=1\to F_e=2$ .  $\delta, s$  — Температура холодных атомов, определяемая как характерная  $T_E$  (11), больцмановская  $T_B$  (12) и средневзвешенная  $T_W$  (15) в полях ( $\delta$ )  $lin\perp lin$ - и ( $\epsilon$ )  $\sigma_+-\sigma_-$ -конфигурации

Таким образом, ансамбль атомов разбивается на две фракции: «холодную» — с более низкой температурой  $T_{cold}$ , характеризующую центральную часть распределения, и «горячую» — с более высокой температурой  $T_{hot}$ , характеризующую «подложку» распределения. Параметры  $N_{cold}$  и  $N_{hot}$  определяют доли атомов во фракциях,  $N_{cold} + N_{hot} = 1$ . Для такого распределения можно ввести средневзвешенную температуру «холодной» и «горячей» фракций:

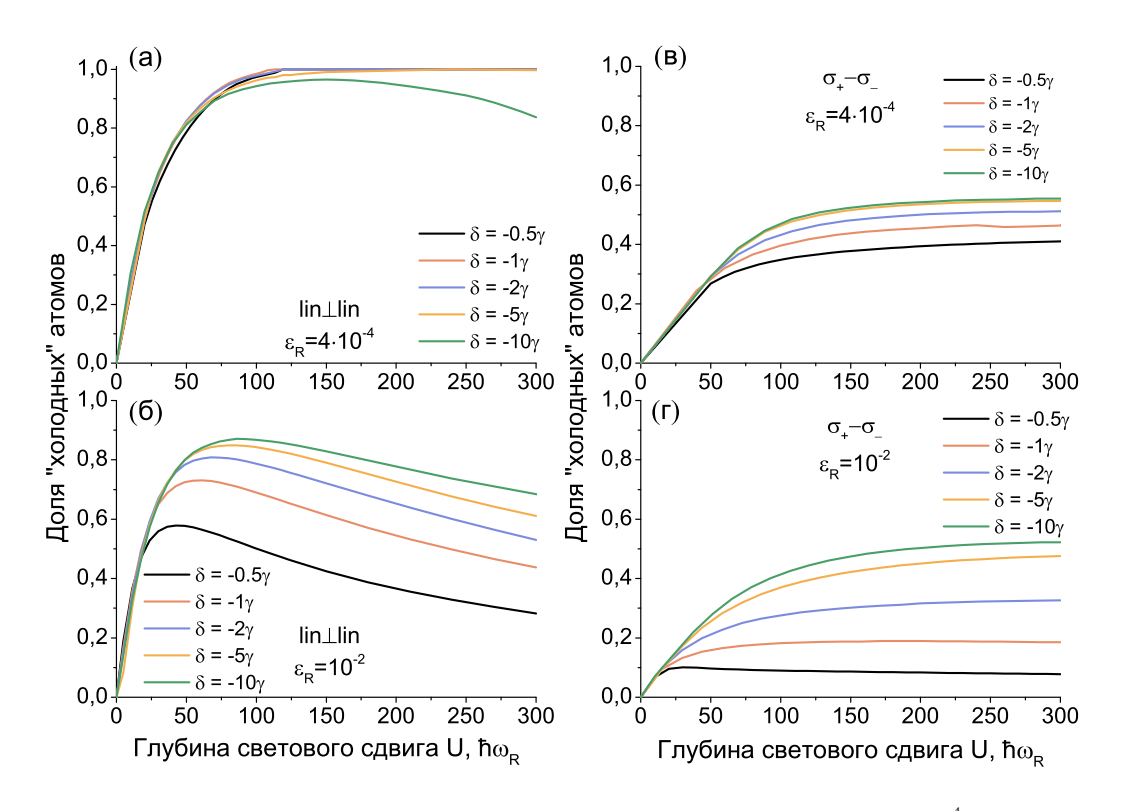
$$T_W = N_{hot}T_{hot} + N_{cold}T_{cold}. (15)$$

Действительно, двухтемпературная интерпретация значительно лучше описывает импульсное распределение холодных атомов (см. рис. 2a). Средневзвешенная температура  $T_W$  (15) лучше согласуется с характерной температурой  $T_E$  (рис. 2b, b) и, таким образом, может быть использована для характеризации лазерного охлаждения атомов. Двухтемпературное распределение позволяет проанализировать характеристики не только ансамбля охлажденных атомов как единой системы, но и долей «холодной» и «горячей» фракций в зависимости от разных параметров охлаждения. Максимизация доли атомов в «холодной» фракции определяет эффективность субдоплеровского лазерного охлаждения.

Как хорошо известно [28], субдоплеровское лазерное охлаждение атомов возникает в полях с пространственно-неоднородной поляризацией, резонансных замкнутому оптическому переходу атома  $F_g \to F_e$  с вырожденными по проекции углового момента уровнями. Далее, для сравнительного анали-

за субдоплеровского лазерного охлаждения и возникающего двухтемпературного распределения атомов мы рассмотрим охлаждение в рамках модельного перехода  $F_g=1 \to F_e=2$ , для которого присутствуют субдоплеровские механизмы охлаждения в обеих конфигурациях световых полей,  $lin \perp lin$  и  $\sigma_+ - \sigma_-$ .

Представленные результаты доли «холодной» фракции на рис. 3 показывают, что выбор конфигурации светового поля принципиально влияет на термодинамическое состояние атомов. Так, для  $lin \perp lin$ -конфигурации в случае предельно малых параметров отдачи  $\varepsilon_R \ll 10^{-3} \; ({\rm puc.} \; 3 \, a) \;$  доля «холодных» атомов слабо зависит от отстройки, и для  $U > 100 \, \hbar \omega_R$  выделяется область параметров, при которых доля равна единице. В этом случае импульсное распределение близко к классическому распределению Максвелла-Больцмана и может описываться в рамках одной температуры, что соответствует результатам рис. 1. Однако для  $\sigma_{+} - \sigma_{-}$ -конфигурации, даже при условии предельно малого параметра отдачи (рис. 3 в) и большой интенсивности охлаждающего поля, доля «холодных» атомов стремится к 1/2. Следовательно, для  $\sigma_+ - \sigma_-$ -конфигурации поля при предельно малых параметрах отдачи  $\varepsilon_R \ll 10^{-3}$  стационарное состояние ансамбля охлажденных атомов имеет ярко выраженное двухтемпературное распределение, что также наблюдалось экспериментально в работе [27]. При этом для большего параметра отдачи  $\varepsilon_R = 10^{-2} \; (\text{рис.} \; 3 \, \textit{б, } \textit{г}) \; \text{переход к классическому}$ 



**Рис. 3.** Зависимости доли «холодных» атомов от глубины светового сдвига U для  $\varepsilon_R=4\cdot 10^{-4}~(a,e)$  и  $\varepsilon_R=10^{-2}~(b,e)$  в поле  $(a,b)~lin\perp lin$ - и  $(b,e)~\sigma_+$ -  $\sigma_-$ -конфигурации с различными отстройками  $\delta$ 

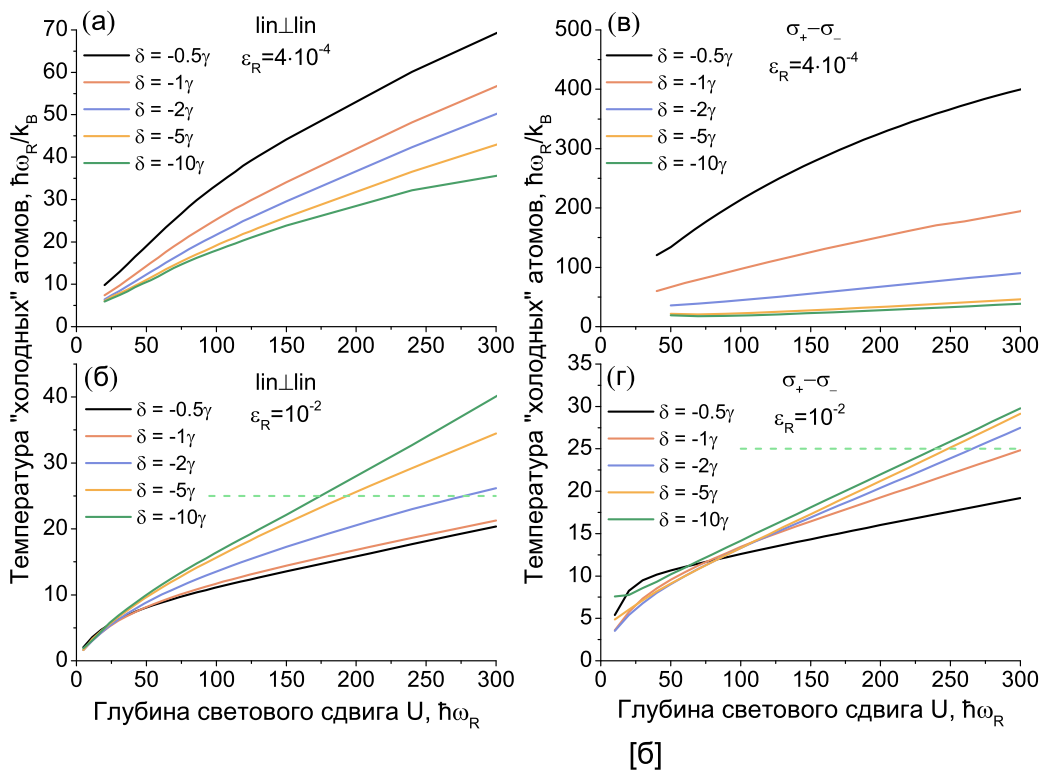
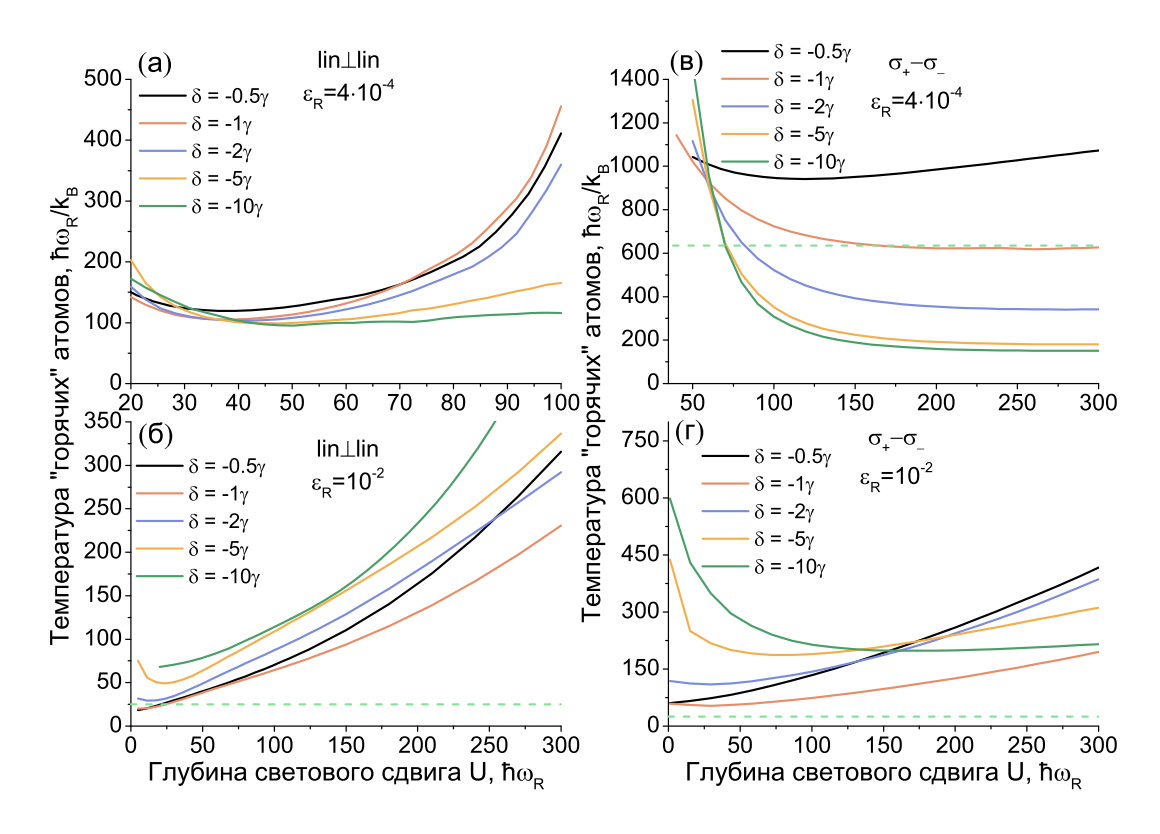


Рис. 4. Зависимости температуры «холодных» атомов от глубины светового сдвига U для  $\varepsilon_R=4\cdot 10^{-4}~(a,e)$  и  $\varepsilon_R=10^{-2}~(b,e)$  в поле  $(a,b)~lin\pm lin$ - и  $(b,e)~\sigma_+$ -  $\sigma_-$ -конфигурации с различными отстройками  $\delta$ . Штриховыми линиями обозначен доплеровский предел

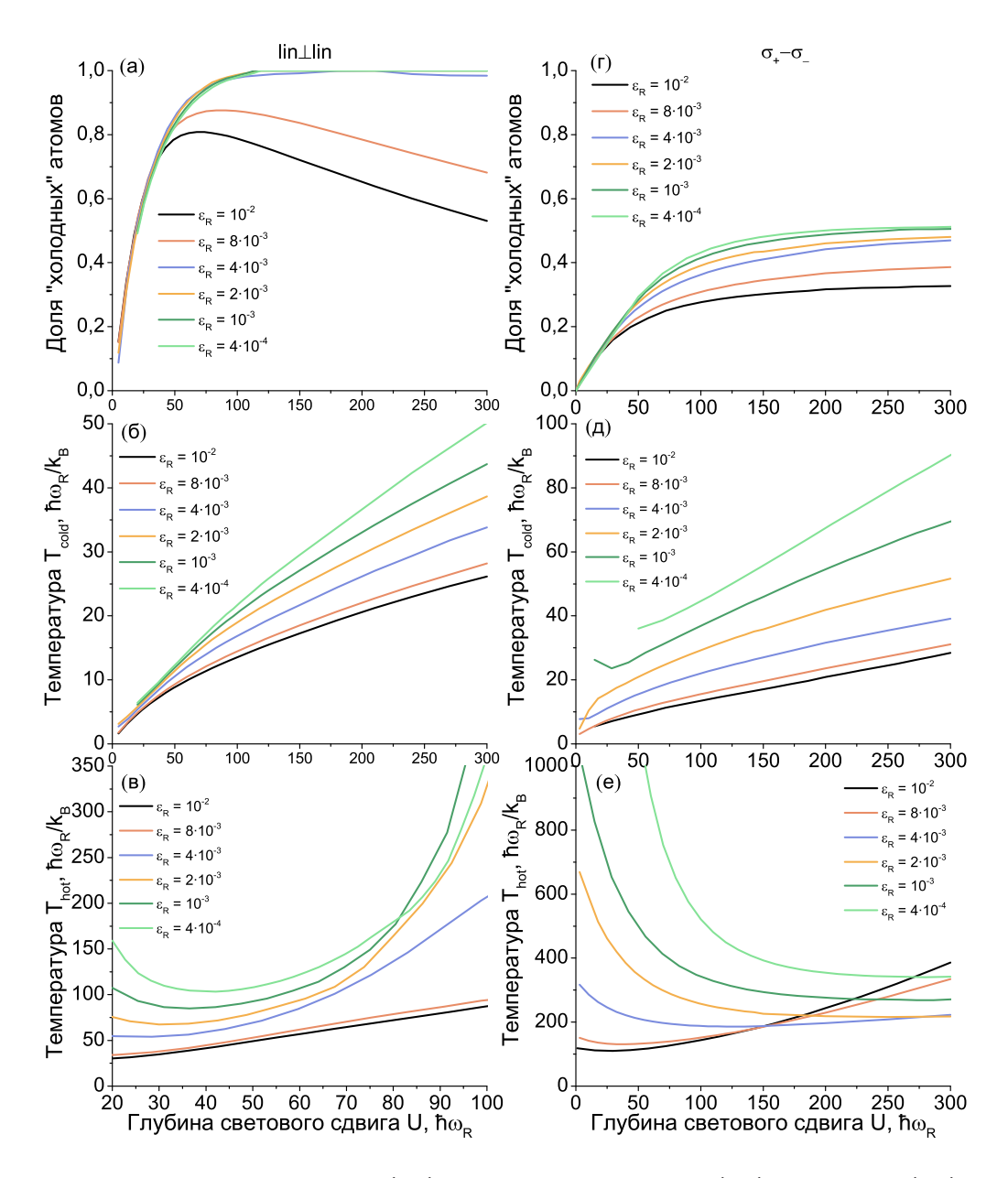


**Рис. 5.** Зависимости температуры «горячих» атомов от глубины светового сдвига U для  $\varepsilon_R=4\cdot 10^{-4}\,(a,e)$  и  $\varepsilon_R=10^{-2}\,(\emph{б},\emph{r})$  в полях  $(a,\emph{б})\,$  lin  $\perp lin$ - и  $(e,\emph{r})\,$   $\sigma_+$ -  $\sigma_-$ -конфигурации с различными отстройками  $\emph{\delta}$ . Штриховыми линиями обозначен доплеровский предел

распределению Максвелла – Больцмана не происходит и для  $lin \perp lin$ -конфигурации поля. Появляется сильная зависимость от отстройки поля, растущая с увеличением U, а доля «холодных» атомов не выходит на постоянное значение, а, наоборот, начинает снижаться.

Анализ температуры «холодной» фракции атомов представлен на рис. 4. Температура  $T_{cold}$  растет с увеличением интенсивности охлаждающего поля, что согласуется с известными теориями субдоплеровского лазерного охлаждения [14, 26, 28, 29]. Для атомов с предельно малыми значениями параметра отдачи  $\varepsilon_R \ll 10^{-3}$  температура «холодной» фракции ниже доплеровского предела. Однако при недостаточно малом значении параметра отдачи  $\varepsilon_R \gtrsim 10^{-2} \ (13)$  наблюдается обратная зависимость от величины отстройки (рис. 4 б, г): наименьшие температуры достигаются при наименьших отстройках  $\delta$ . Такой же эффект наблюдается и для «горячей» фракции (рис. 5). В режиме охлаждения с недостаточно малым параметром отдачи (13) при малых значениях параметра U температура «холодной» фракции ниже доплеровского предела (рис. 4 б, г), а температура «горячей» фракции, наоборот, выше (рис.  $5 \, \delta$ ,  $\epsilon$ ). При этом доля «холодной» фракции также уменьшается с ростом параметра отдачи (рис.  $3 \, 6, \, \epsilon$ ). Это означает, что для атомов с  $\varepsilon_R \gtrsim 10^{-2}$  именно доля и температура «горячей» фракции определяют средневзвешенную температуру  $T_W$ . Тем не менее для  $lin \perp lin$ конфигурации можно выделить область параметров, когда температуры «холодной» и «горячей» фракций ниже доплеровского предела (рис. 5 б). Таким образом, данные, представленные на рис. 3, 4, позволяют подобрать интенсивности светового поля (параметр U) при выбранной отстройке  $\delta$  для атомов с заданным значением  $\varepsilon_R$ , позволяющие максимизировать долю «холодной» фракции и/или минимизировать температуру («холодной» фракции или средневзвешенную).

Рассмотрим подробнее влияние величины параметра отдачи  $\varepsilon_R$  на характеристики двухтемпературного распределения ансамбля атомов. В случае  $lin \perp lin$ -поляризации (рис. 6 a, 6, 6) можно отметить, что для предельно малых параметров отдачи  $\varepsilon_R \ll 10^{-3}$  с увеличением параметра U до-



**Рис. 6.** Зависимости доли «холодных» атомов  $(a, \varepsilon)$ , температуры «холодных»  $(\delta, \partial)$  и «горячих» (e, e) атомов от глубины светового сдвига U в полях  $(a, \delta, e)$   $lin \perp lin$ - и  $(e, \partial, e)$   $\sigma_+ - \sigma_-$ -конфигурации с отстройкой  $\delta = -2\gamma$  для различных параметров отдачи  $\varepsilon_R$ 

ля «холодных» атомов быстро растет до единицы (рис. 6~a), т. е. при малых U энергия всего ансамбля определяется температурой «горячей» фракции атомов, а при больших U — температурой «холодной» фракции. Для  $\varepsilon_R \geq 8 \cdot 10^{-3}$  выделяется оптимум по U для доли «холодных» атомов. При этом для  $\sigma_+$ - $\sigma_-$ -поляризации при больших значениях параметра U доля «холодных» атомов выходит на некоторое постоянное значение, близкое к 1/2 при предельно малых  $\varepsilon_R$  (рис.  $6~\epsilon$ ).

Как показано нами ранее в работе [26], влияние квантовых эффектов отдачи для атомов с  $\varepsilon_R \gtrsim 10^{-2}$  снижает эффективность субдоплеровских механизмов лазерного охлаждения. При этом можно видеть, что температура «холодной» фракции атомов (рис. 6  $\delta$ ,  $\delta$ ) остается ниже доплеровского предела, однако их доля падает (рис. 6 a,  $\epsilon$ ). Таким образом, средневзвешенная температура  $T_W$  в основном определяется «горячей» фракцией, температура которой существенно понижается (рис. 6 a,  $\epsilon$ ).

## 4. ЗАКЛЮЧЕНИЕ

Температура является одной из ключевых характеристик, используемых для описания лазерного охлаждения атомов. Ее определение для конкретных термодинамических систем является принципиальным. Классическое определение температуры, использующее распределение Максвелла – Больцмана (12), описывает классическую систему невзаимодействующих частиц. Однако в задаче лазерного охлаждения взаимодействие атомов с единичными фотонами поля приводит к тому, что система частиц не находится в термодинамическом равновесии и, строго говоря, не может быть описана с помощью распределения Максвелла – Больцмана, т. е. классическое определение температуры может оказаться неприменимым.

В рамках настоящей работы было показано существенное расхождение классической больцмановской температуры  $T_B$  с характеристиками ансамбля «холодных» атомов. Показано, что для описания ансамбля «холодных» атомов можно использовать двухтемпературное распределение, характеризуемое долями «холодной» и «горячей» фракций атомов и их температурами. Введенное понятие «средневзвешенной температуры»  $T_W$  (15) может быть использовано для количественного описания лазерного охлаждения всего ансамбля атомов.

При рассмотрении задачи лазерного охлаждения атомов в «оптической патоке» с различными параметрами отдачи  $\varepsilon_R$  нами была обнаружена зависимость температур «холодной» и «горячей» фракций не только от параметров охлаждающего лазерного поля, но также и от его выбранной конфигурации. Для атомов с предельно малым параметром отдачи  $arepsilon_R \ll 10^{-3}$  для  $lin \perp lin$ -конфигурации доля «холодных» атомов с ростом U стремится к единице, т.е. фактически описывается однотемпературным распределением, а для  $\sigma_{+}$ - $\sigma_{-}$ -конфигурации доля «холодных» атомов стремится к 1/2. Таким образом, даже в случае предельно малого значения параметра отдачи  $\varepsilon_R \ll 10^{-3}$ , детально описанном в рамках хорошо известных квазиклассических подходов, для  $\sigma_{+}$  –  $\sigma_{-}$  -конфигурации светового поля термодинамическое состояние ансамбля является существенно неравновесным и может быть описано в терминах двухтемпературного распределения. Это особенно важно с учетом того, что стандартный метод лазерного охлаждения, используемый в экспериментах, включает в себя охлаждение в магнито-оптической ловушке, как раз формируемой такими полями. При этом оптимизация доли «холодной» фракции и ее температуры является отдельной задачей для реализации эффективного лазерного охлаждения. Без такой оптимизации эффективность субдоплеровского охлаждения может быть снижена, потому что большая часть охлажденных атомов окажется в «горячей» фракции, воспринимаемой в качестве «подложки», поскольку ее температура на порядок больше температуры «холодной» фракции (порядка и больше температуры доплеровского предела).

Финансирование. Исследование выполнено за счет гранта Российского научного фонда № 23-12-00182, https://rscf.ru/project/23-12-00182/

## ЛИТЕРАТУРА

- A. B. Тайченачев, В. И. Юдин, С. Н. Багаев, УФН 186, 193 (2016) [A. V. Taichenachev, V. I. Yudin, and S. N. Bagayev, Phys. Usp. 59, 184 (2016)].
- A. D. Ludlow, M. M. Boyd, J. Ye, E. Peik, and P. O. Schmidt, Rev. Mod. Phys. 87, 637 (2015).
- N. Dimarcq, M. Gertsvolf, G. Mileti et al., Metrologia 61, 012001 (2024).
- T. Zanon-Willette, R. Lefevre, R. Metzdorff, N. Sillitoe, S. Almonacil et al., Rep. Progr. Phys. 81, 094401 (2018).
- A. Peters, K.-Y. Chung, and S. Chu, Metrologia 38, 25 (2001).
- J. M. McGuirk, G. T. Foster, J. B. Fixler, M. J. Snadden, and M. A. Kasevich, Phys. Rev. A 65, 033608 (2002);
   T. L. Gustavson, P. Bouyer, and M. A. Kasevich, Phys. Rev. Lett. 78, 2046 (1997).
- P. Gillot, O. Francis, A. Landragin, F. Pereira Dos Santos, and S. Merlet, Metrologia 51, L15 (2014).
- 8. P. Wang, C. Y. Luan, M. Qiao, M. Um, J. Zhang, Y. Wang, X. Yuan, M. Gu, J. Zhang, and K. Kim, Nat. Commun. 12, 1 (2021).
- H. Li, J. P. Dou, X. L. Pang, C. N. Zhang, Z. Q. Yan,
   T. H. Yang, J. Gao, J. M. Li, and X. M. Jin, npj
   Quantum Inf. 7, 146 (2021).
- L. Feng, Y.-Y. Huang, Y.-K. Wu, W.-X. Guo, J.-Y. Ma, H.-X. Yang, L. Zhang, Y. Wang, C.-X. Huang, C. Zhang, L. Yao, B.-X. Qi, Y.-F. Pu, Z.-C. Zhou. and L.-M. Duan, Nat. Commun. 15, 204 (2024).
- E. A. Cornell and C. E. Wieman, Rev. Mod. Phys. 74, 875 (2002).
- 12. W. Ketterle, Rev. Mod. Phys. 74, 1131 (2002).

- А. П. Казанцев, Г. И. Сурдутович, В. П. Яковлев Механическое действие света на атомы, Наука, Москва (1991).
- 14. H. J. Metcalf and P. van der Straten, *Laser Cooling* and *Trapping*, Springer-Verlag, New York (1999).
- А. В. Безвербный, О. Н. Прудников, А. В. Тайченачев, А. М. Тумайкин, В. И. Юдин, ЖЭТФ
   123, 437 (2003) [A. V. Bezverbnyi, O. N. Prudnikov, A. V. Taichenachev, A. M. Tumaikin, and V. I. Yudin, JETP 96, 383 (2003)].
- 16. H. Risken, The Fokker-Plank Equation Methods of Solution and Applications, Springer, Berlin (1989).
- 17. А. А. Кирпичникова, О. Н. Прудников, А. В. Тайченачев, В. И. Юдин, КЭ 52, 130 (2022) [A. A. Kirpichnikova, O. N. Prudnikov, A. V. Taichenachev, and V. I. Yudin, Quant. Electr. 52, 130 (2022)].
- 18. J. Javavainen, Phys. Rev. A 46, 5819 (1992).
- 19. O. N. Prudnikov and E. Arimondo, J. Opt. B: Quantum Semiclassical Opt. 6, 336 (2004).
- **20**. О. Н. Прудников, А. В. Тайченачев, А. М. Тумайкин, В. И. Юдин, ЖЭТФ **131**, 963 (2007) [O. N. Prudnikov, A. V. Taichenachev, A. M. Tumaikin, and V. I. Yudin, JETP **104**, 839 (2007)].
- O. N. Prudnikov, A. V. Taichenachev, A.M. Tumaikin, and V. I. Yudin, Phys. Rev. A 75, 023413 (2007).
- 22. О. Н. Прудников, Р. Я. Ильенков, А. В. Тайченачев, А. М. Тумайкин, В. И. Юдин, ЖЭТФ 139, 1074 (2011) [О. N. Prudnikov, R. Ya. Il'enkov, A. V. Taichenachev, A. M. Tumaikin, and V. I. Yudin, JETP 112, 939 (2011)].

- **23**. Р. Я. Ильенков, О. Н. Прудников, А. В. Тайченачев, В. И. Юдин, ЖЭТФ **150**, 5 (2016) [R. Ya. Il'enkov, O. N. Prudnikov, A. V. Taichenachev, and V. I. Yudin, JETP **123**, 1 (2016)].
- **24**. O. N. Prudnikov, R. Ya. Il'enkov, A. V. Taichenachev, and V. I. Yudin, Phys. Rev. A **99**, 023427 (2019).
- 25. O. N. Prudnikov, D. V. Brazhnikov, A. V. Taichenachev, V. I. Yudin, A. E. Bonert, R. Ya. Il'enkov, and A. N. Goncharov, Phys. Rev. A, 92, 063413 (2015).
- А. А. Кирпичникова, О. Н. Прудников, Р. Я. Ильенков, А. В. Тайченачев, В. И. Юдин, 50, 939 (2020) [A. A. Kirpichnikova, O. N. Prudnikov, R. Ya. Il'enkov, A. V. Taichenachev, and V. I. Yudin, Quan. Electr. 50, 939 (2020)].
- E. Kalganova, O. Prudnikov, G. Vishnyakova, A. Golovizin, D. Tregubov, D. Sukachev, K. Khabarova, V. Sorokin, and N. Kolachevsky, Phys. Rev. A 96, 033418 (2017).
- D. Dalibard, and C. Cohen-Tannoudji, J. Opt. Soc. Am. B 6, 2023 (1989).
- **29**. C. S. Adams and E. Riis, Prog. Quantum Electron. **21**, 1 (1997).
- **30**. О. Н. Прудников, А. В. Тайченачев, В. И. Юдин, Письма в ЖЭТФ **102**, 660 (2015) [O. N. Prudnikov, A. V. Taichenachev, and V. I. Yudin, JETP Lett. **102**, 576 (2015)].
- 31. P.S. Jessen, C. Gerz, P. D. Lett, W. D. Phillips, S. L. Rokston, R. J. C. Spreeuw, and C. I. Westbrook, Phys. Rev. Lett. 69, 49 (1992).